

# Starkniederschlagshöhen und -spenden gemäß KOSTRA-DWD-2020

## Rasterfeld 95160

(Zeile 95, Spalte 160)

### Regenspende und Bemessungsniederschlagswerte in Abhängigkeit von Wiederkehrzeit T und Dauerstufe D

| Dauerstufe D |     | Wiederkehrzeit T |            |      |            |      |            |      |            |      |            |       |            |       |            |       |            |       |            |
|--------------|-----|------------------|------------|------|------------|------|------------|------|------------|------|------------|-------|------------|-------|------------|-------|------------|-------|------------|
|              |     | 1 a              |            | 2 a  |            | 3 a  |            | 5 a  |            | 10 a |            | 20 a  |            | 30 a  |            | 50 a  |            | 100 a |            |
| min          | Std | mm               | l / (s ha) | mm   | l / (s ha) | mm   | l / (s ha) | mm   | l / (s ha) | mm   | l / (s ha) | mm    | l / (s ha) | mm    | l / (s ha) | mm    | l / (s ha) | mm    | l / (s ha) |
| 5            |     | 6,4              | 213,3      | 7,8  | 260,0      | 8,7  | 290,0      | 9,9  | 330,0      | 11,7 | 390,0      | 13,5  | 450,0      | 14,6  | 486,7      | 16,2  | 540,0      | 18,4  | 613,3      |
| 10           |     | 8,3              | 138,3      | 10,2 | 170,0      | 11,4 | 190,0      | 13,0 | 216,7      | 15,2 | 253,3      | 17,5  | 291,7      | 19,1  | 318,3      | 21,1  | 351,7      | 23,9  | 398,3      |
| 15           |     | 9,5              | 105,6      | 11,7 | 130,0      | 13,0 | 144,4      | 14,8 | 164,4      | 17,4 | 193,3      | 20,0  | 222,2      | 21,8  | 242,2      | 24,1  | 267,8      | 27,3  | 303,3      |
| 20           |     | 10,3             | 85,8       | 12,7 | 105,8      | 14,2 | 118,3      | 16,2 | 135,0      | 19,0 | 158,3      | 21,9  | 182,5      | 23,8  | 198,3      | 26,3  | 219,2      | 29,8  | 248,3      |
| 30           |     | 11,6             | 64,4       | 14,3 | 79,4       | 16,0 | 88,9       | 18,2 | 101,1      | 21,3 | 118,3      | 24,6  | 136,7      | 26,7  | 148,3      | 29,5  | 163,9      | 33,5  | 186,1      |
| 45           |     | 13,0             | 48,1       | 16,0 | 59,3       | 17,8 | 65,9       | 20,3 | 75,2       | 23,8 | 88,1       | 27,4  | 101,5      | 29,8  | 110,4      | 32,9  | 121,9      | 37,4  | 138,5      |
| 60           | 1   | 14,0             | 38,9       | 17,2 | 47,8       | 19,2 | 53,3       | 21,9 | 60,8       | 25,7 | 71,4       | 29,6  | 82,2       | 32,1  | 89,2       | 35,5  | 98,6       | 40,3  | 111,9      |
| 90           | 1,5 | 15,5             | 28,7       | 19,1 | 35,4       | 21,3 | 39,4       | 24,2 | 44,8       | 28,5 | 52,8       | 32,8  | 60,7       | 35,7  | 66,1       | 39,4  | 73,0       | 44,7  | 82,8       |
| 120          | 2   | 16,7             | 23,2       | 20,5 | 28,5       | 22,9 | 31,8       | 26,1 | 36,3       | 30,6 | 42,5       | 35,3  | 49,0       | 38,3  | 53,2       | 42,3  | 58,8       | 48,1  | 66,8       |
| 180          | 3   | 18,4             | 17,0       | 22,7 | 21,0       | 25,3 | 23,4       | 28,8 | 26,7       | 33,8 | 31,3       | 39,0  | 36,1       | 42,4  | 39,3       | 46,8  | 43,3       | 53,1  | 49,2       |
| 240          | 4   | 19,8             | 13,8       | 24,3 | 16,9       | 27,2 | 18,9       | 30,9 | 21,5       | 36,3 | 25,2       | 41,8  | 29,0       | 45,5  | 31,6       | 50,2  | 34,9       | 57,0  | 39,6       |
| 360          | 6   | 21,8             | 10,1       | 26,9 | 12,5       | 30,0 | 13,9       | 34,1 | 15,8       | 40,0 | 18,5       | 46,2  | 21,4       | 50,2  | 23,2       | 55,4  | 25,6       | 62,9  | 29,1       |
| 540          | 9   | 24,0             | 7,4        | 29,6 | 9,1        | 33,1 | 10,2       | 37,6 | 11,6       | 44,2 | 13,6       | 50,9  | 15,7       | 55,3  | 17,1       | 61,1  | 18,9       | 69,4  | 21,4       |
| 720          | 12  | 25,8             | 6,0        | 31,8 | 7,4        | 35,5 | 8,2        | 40,3 | 9,3        | 47,3 | 10,9       | 54,6  | 12,6       | 59,3  | 13,7       | 65,5  | 15,2       | 74,4  | 17,2       |
| 1080         | 18  | 28,4             | 4,4        | 35,0 | 5,4        | 39,1 | 6,0        | 44,5 | 6,9        | 52,2 | 8,1        | 60,2  | 9,3        | 65,4  | 10,1       | 72,2  | 11,1       | 82,0  | 12,7       |
| 1440         | 24  | 30,4             | 3,5        | 37,5 | 4,3        | 41,9 | 4,8        | 47,6 | 5,5        | 55,9 | 6,5        | 64,5  | 7,5        | 70,1  | 8,1        | 77,4  | 9,0        | 87,9  | 10,2       |
| 2880         | 48  | 36,0             | 2,1        | 44,3 | 2,6        | 49,5 | 2,9        | 56,3 | 3,3        | 66,0 | 3,8        | 76,1  | 4,4        | 82,7  | 4,8        | 91,4  | 5,3        | 103,8 | 6,0        |
| 4320         | 72  | 39,6             | 1,5        | 48,8 | 1,9        | 54,5 | 2,1        | 62,0 | 2,4        | 72,8 | 2,8        | 83,9  | 3,2        | 91,2  | 3,5        | 100,7 | 3,9        | 114,4 | 4,4        |
| 5760         | 96  | 42,4             | 1,2        | 52,3 | 1,5        | 58,4 | 1,7        | 66,4 | 1,9        | 78,0 | 2,3        | 89,9  | 2,6        | 97,7  | 2,8        | 107,9 | 3,1        | 122,5 | 3,5        |
| 7200         | 120 | 44,8             | 1,0        | 55,2 | 1,3        | 61,6 | 1,4        | 70,1 | 1,6        | 82,2 | 1,9        | 94,8  | 2,2        | 103,0 | 2,4        | 113,8 | 2,6        | 129,2 | 3,0        |
| 8640         | 144 | 46,8             | 0,9        | 57,6 | 1,1        | 64,3 | 1,2        | 73,2 | 1,4        | 85,9 | 1,7        | 99,0  | 1,9        | 107,6 | 2,1        | 118,9 | 2,3        | 135,0 | 2,6        |
| 10080        | 168 | 48,5             | 0,8        | 59,8 | 1,0        | 66,8 | 1,1        | 75,9 | 1,3        | 89,1 | 1,5        | 102,7 | 1,7        | 111,7 | 1,8        | 123,3 | 2,0        | 140,1 | 2,3        |

# Starkniederschlagshöhen und -spenden gemäß KOSTRA-DWD-2020

## Rasterfeld 95160

(Zeile 95, Spalte 160)

### Örtliche Unsicherheiten in Abhängigkeit von Wiederkehrzeit T und Dauerstufe D

| Dauerstufe D |     | Wiederkehrzeit T |     |     |     |      |      |      |      |       |
|--------------|-----|------------------|-----|-----|-----|------|------|------|------|-------|
|              |     | 1 a              | 2 a | 3 a | 5 a | 10 a | 20 a | 30 a | 50 a | 100 a |
| min          | Std | ± %              | ± % | ± % | ± % | ± %  | ± %  | ± %  | ± %  | ± %   |
| 5            |     | 12               | 12  | 12  | 13  | 13   | 14   | 14   | 14   | 15    |
| 10           |     | 12               | 13  | 14  | 15  | 16   | 17   | 18   | 18   | 19    |
| 15           |     | 13               | 15  | 16  | 17  | 18   | 19   | 20   | 20   | 21    |
| 20           |     | 14               | 16  | 17  | 18  | 20   | 21   | 21   | 22   | 22    |
| 30           |     | 15               | 17  | 18  | 19  | 21   | 22   | 22   | 23   | 24    |
| 45           |     | 15               | 17  | 19  | 20  | 21   | 22   | 23   | 24   | 24    |
| 60           | 1   | 15               | 17  | 19  | 20  | 21   | 22   | 23   | 23   | 24    |
| 90           | 1,5 | 14               | 17  | 18  | 19  | 21   | 22   | 22   | 23   | 24    |
| 120          | 2   | 14               | 16  | 18  | 19  | 20   | 21   | 22   | 22   | 23    |
| 180          | 3   | 13               | 15  | 17  | 18  | 19   | 20   | 21   | 21   | 22    |
| 240          | 4   | 13               | 15  | 16  | 17  | 18   | 19   | 20   | 21   | 21    |
| 360          | 6   | 12               | 14  | 15  | 16  | 17   | 18   | 19   | 19   | 20    |
| 540          | 9   | 12               | 13  | 14  | 15  | 16   | 17   | 18   | 18   | 19    |
| 720          | 12  | 12               | 13  | 14  | 15  | 16   | 17   | 17   | 18   | 18    |
| 1080         | 18  | 12               | 13  | 14  | 14  | 15   | 16   | 17   | 17   | 18    |
| 1440         | 24  | 13               | 13  | 14  | 14  | 15   | 16   | 16   | 17   | 17    |
| 2880         | 48  | 15               | 15  | 15  | 15  | 15   | 16   | 16   | 17   | 17    |
| 4320         | 72  | 17               | 16  | 16  | 16  | 16   | 16   | 17   | 17   | 17    |
| 5760         | 96  | 18               | 17  | 17  | 17  | 17   | 17   | 17   | 17   | 18    |
| 7200         | 120 | 19               | 18  | 18  | 18  | 18   | 18   | 18   | 18   | 18    |
| 8640         | 144 | 20               | 19  | 19  | 18  | 18   | 18   | 18   | 18   | 18    |
| 10080        | 168 | 21               | 20  | 19  | 19  | 19   | 19   | 19   | 19   | 19    |

### Parameter für abweichende T und D

#### Lokationsparameter $\xi$ (Xi)

14,2624035

#### Skalenparameter $\alpha$ (Alpha)

4,60270238

#### Formparameter $\kappa$ (Kappa)

-0,1

#### 1. Koutsoyiannis-Parameter $\theta$ (Theta)

0,02696805

#### 2. Koutsoyiannis-Parameter $\eta$ (Eta)

0,76089108

Parameter für dauerstufenübergreifende Extremwertschätzung nach KOUTSOYIANNIS et al. 1998.

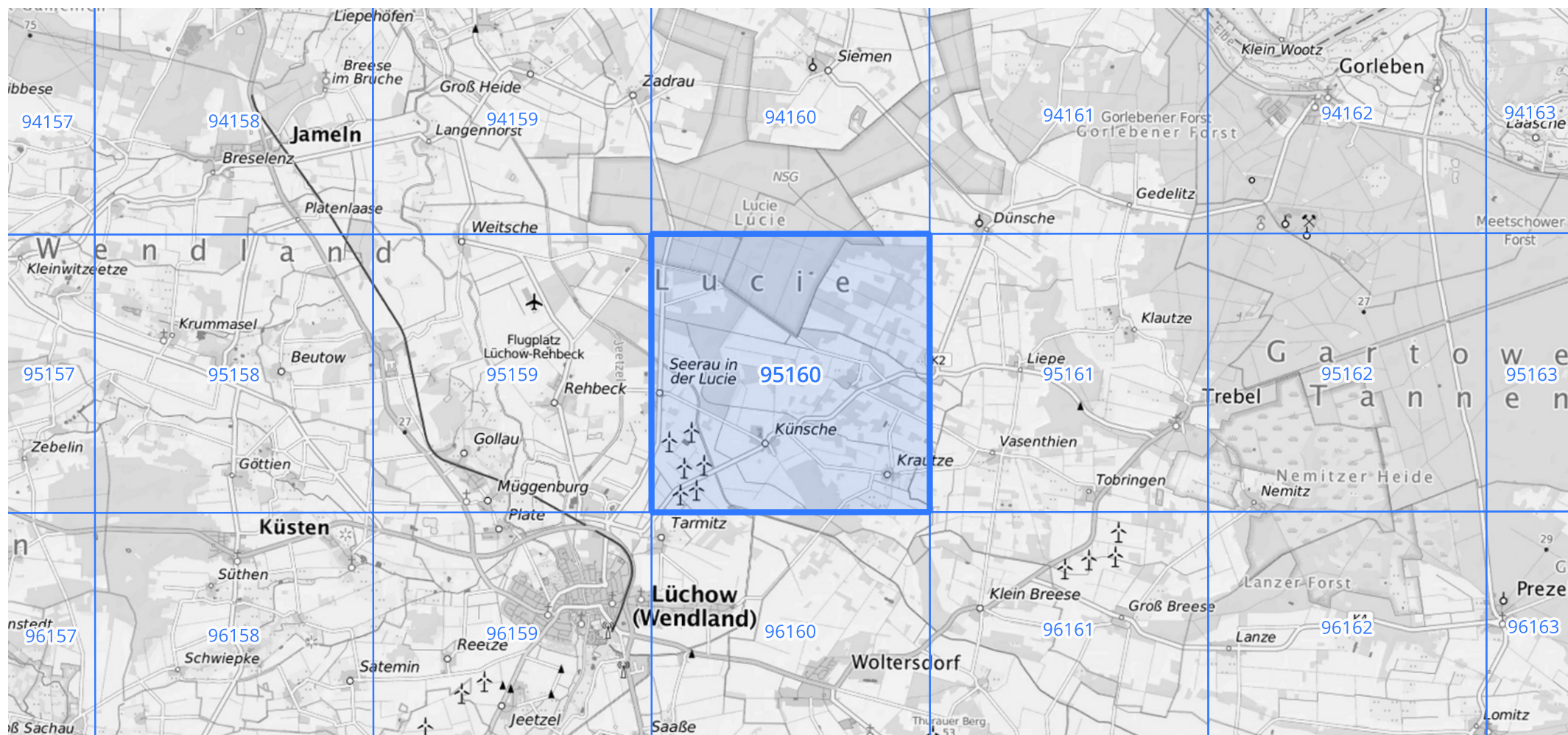
Siehe auch Anwendungshilfe zu KOSTRA-DWD-2020 des Deutschen Wetterdienstes.

# Starkniederschlagshöhen und -spenden gemäß KOSTRA-DWD-2020

## Rasterfeld 95160

(Zeile 95, Spalte 160)

### Übersichtskarte des Rasterfeldes 95160, M 1 : 100 000



Quelle Rasterdaten: KOSTRA-DWD-2020 des Deutschen Wetterdienstes, Stand 12/2022.

Seite 3 von 3

Kartendarstellung: © Bundesamt für Kartographie und Geodäsie (2023), Datenquellen: [https://sgx.geodatenzentrum.de/web\\_public/gdz/datenquellen/Datenquellen\\_TopPlusOpen.html](https://sgx.geodatenzentrum.de/web_public/gdz/datenquellen/Datenquellen_TopPlusOpen.html)

Für die Richtigkeit und Aktualität der Angaben wird keine Gewähr übernommen. Erstellt 01/2023.